

III-13 ニ次え積層体によるせん断中の粒子移動特性について

長崎大学工学部 正員 ○落合英俊

九州大学工学部 正員 山内豊範

長崎大学工学部 正員 稲橋由彦

1. まえがき 土は個々の粒子の集合体であると言え、微視的観察よりその力学的特性を検討することは、特に砂礫のような粒状体のせん断特性の解明にあたりて有用な方法であるが、そのためにはせん断中の粒子移動特性を正確に把握する必要がある。実際の土のせん断試験ではそれは非常に困難であるため、スチールボールや丸棒のニ次えモデルを利用した方法がよく行われる。ここでアルミニウムの積層体を利用することとし、その際次のような真面目にしてすべり面の規定せず大軸方向と横方向より力が加わるニ次えせん断試験を行った。つまり粒状体の変形には性質の異なるいくつかのゾーンが生じ、その境界において変形が集中すると考えられるのですべり面が現れられ、その間付近の变形しあとりあつかえず直接せん断試験よりも一般的な粒状体の変形につれてとりあつかえる。またこのようにニ次えせん断試験は通常の三軸試験よりなりうるよりシミュレートできると考えられるので、三軸試験で問題となる上下載荷板付近のとりあつかいなど、三軸試験結果の解釈に役立つものと考えられる。ところで粒状体の変形も問題にする場合、各種の支配要因のうちどの要因がより大それかが重要である。最も、村山・松岡らの研究からみて、荷重比分布、粒子間接触角、粒子間伝達力の3つは最も重要な要因であると考えられるが、こゝでは試験の都合上粒子間伝達力を考慮しておこなうことにして、粒子の移動方向と接触角をとりあげ、これらと供試体全体に関するものと、供試体をいくつかのゾーンに分けて、各ゾーンに亘るところについて見てみた。供試体をいくつかのゾーンに分けることは、上に述べたように粒状体の変形には性質の異なるいくつかのゾーンが生じるということからである。最も、荷重比分布の概念とも関係があるので記しておくと考えられる。

2. 試験方法 試験片は長さ 5.0 cm、直径 2.3. 3. 5. 7. 10 mm の 5 種類のアルミニウム(比重 2.7)を重量比で 1:3:8:3:1 の割合で混ぜし、0.10. 0.15. 0.20 kg/cm² の

側圧に対して毎分 1 mm の

軸変位速度でニ次え的に

圧縮せん断した。試験装置は上下がシールされ、

外側への変形が拘束された

2 本のゴムスリーブ内筒(直徑 7.0 cm)内に

アルミニウム丸棒を詰め込み、

側圧用ゴムスリーブ内筒

空気圧を加えることによ

り負荷し、軸荷重は 5 ×

10 cm のアクリル製板と

介して載荷するのである。

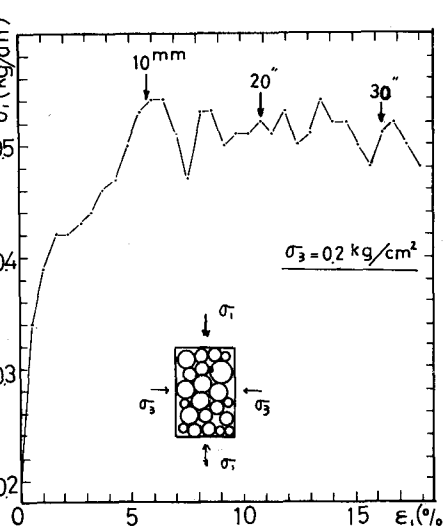


図-1. 应力-ひずみ関係

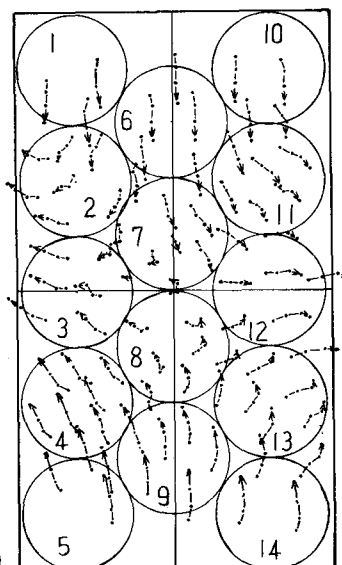


図-2. 粒子の移動方向

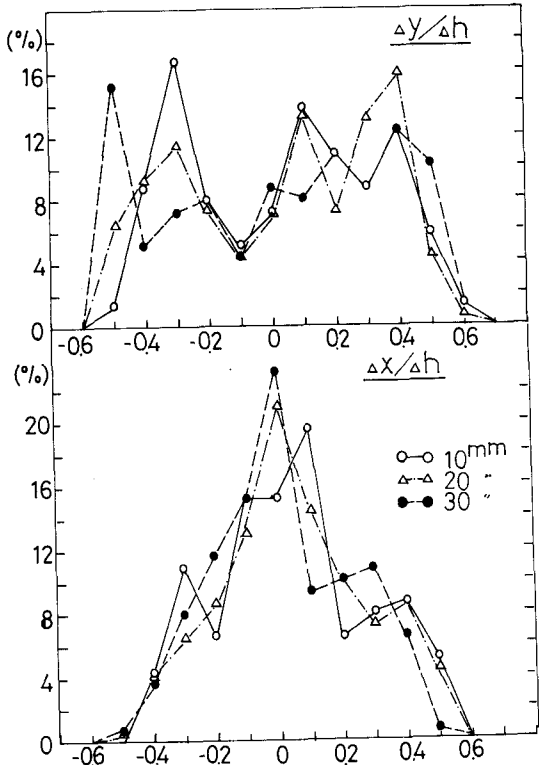


図-3. 物粒子移動方向の度数分布 (a) 供試体全体

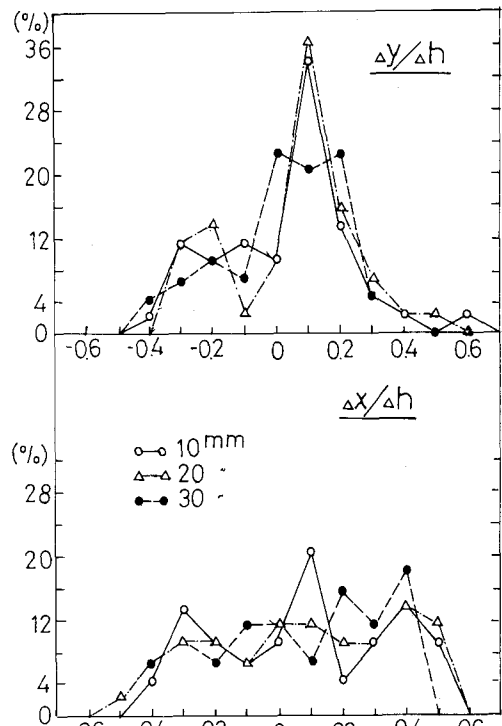


図-3 (b) Zone II

又、試料と載荷板との間にシリコングリースを塗布したゴムストリーツ(厚さ0.2mm)を挿入して摩擦を軽減した状態で二次元せん断試験を行つた。又、また供試体断面積約10cm²、高さ20cmである。試験上降下側載荷板と軸変位は自己記録式で、軸変位1mm毎大字直標表示を行つた。粒子移動等の整理は平面圖上を行つた。又、本文では側圧2.5kg/cm²の場合の一例を示して説明を行つた。

3. 試験結果と考察 供試体内のゾーン分けに対する次のようすことを行つた。一般に供試体内で変形性状が異なるので、それを表わすものとして一つの粒子に注目し、その粒子に接触する粒子数をとりあげ、供試体内から約50ヶの粒子を選びそれら粒子に接触する粒子数を数える。変形の大きさによって面面比が変化がけられ、密に詰め込み状態の場合には面面比が大きくなる。つまり軸変位の増大とともに接触粒子数は増加する。このようにして詰め込み時を基準に軸変位10mm、30mmの時の接触粒子数の増減につれてこの等高線を描くと、供試体内でおおまかに3つのゾーンに分けられることがわかつた。つまり上下載荷板付近のクサビ部分、供試体中央部分、その両部分に接する部分の3つである。ここでこれらの部分の境界をどう定めようかとするためにまずためにまず供試体内に1ヶの円を描き、供試体を147ロットに分けた(図-2参照)。円番号1, 5, 6, 9, 10, 14をゾーンI, 3, 7, 8, 12をゾーンII, 2, 4, 11, 13をゾーンIIIとした。図-1は二つとつあげたものの底面のひずみ曲線であり、図上矢印で示した10, 20, 30mmは軸変位で、軸変位Δh = 10mmは応力のπ/4長、Δh = 20, 30mmはπ/4長以後の残存状態に相当する。以下データの整理はこれらの軸変位に相当する長さについて行つた。軸変位の進行に伴つて供試体内的粒子移動方向のΔh = 0, 10, 20, 30mmの場合につれて図-2を示す。せん断前の供試体中央部の分布とし、

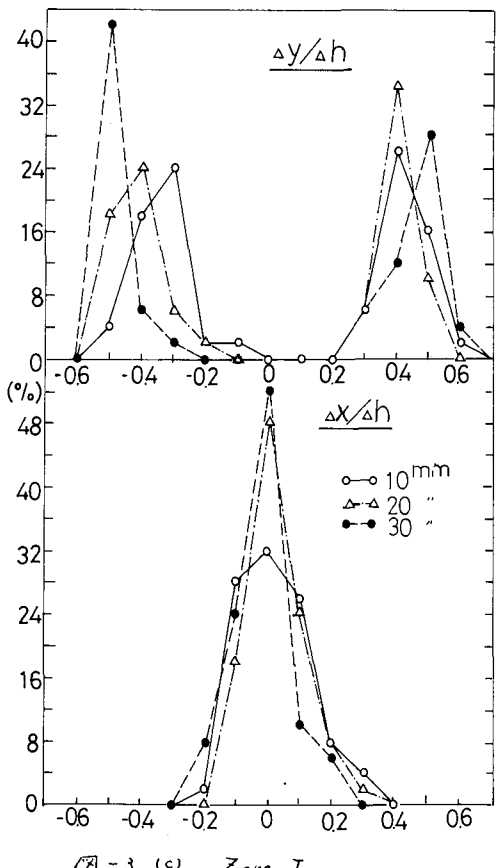


図-3 (c) Zone I

Y方向(軸方向)とY軸、Z方向(構造方向)とX軸と

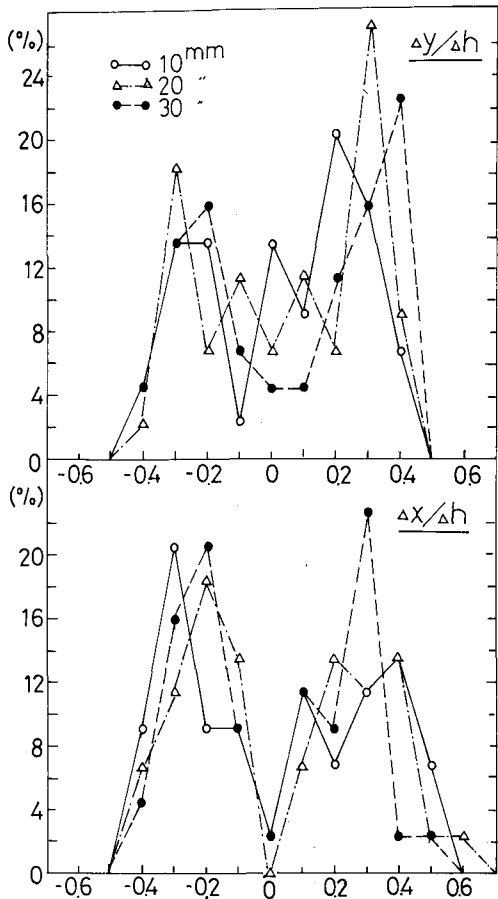


図-3 (d) Zone III

す直角座標軸とし、軸変位とX方向へのY方向への変位 $\Delta x/\Delta h$ の比 $\Delta y/\Delta h$ 、Y方向への変位 $\Delta y/\Delta h$ と $\Delta x/\Delta h$ との比 $\Delta x/\Delta h$ と $\Delta y/\Delta h$ の粒子についてとしたものが図-3である。縦軸は相対度数である。供試体全体で持た $\Delta x/\Delta h$ につれて正規分布を近似できるよう特長ある分布を示してあるが、各ゾーン別にそのと比較してみると、それは3つのゾーンの合計したものとて特長ある分布を示してあるだけで、この全体的なものは粒状体の変形特性を論することは意味がない。これに $\Delta x/\Delta h = 0.2$ を同様である。ゾーンIではX方向への移動は少く、Y方向への移動が大半を占め、このゾーンはクリヤー領域であることがわかる。供試体中央部のゾーンIIでは偏心の影響が多少からずY方向への移動は比較的少く、X方向への移動は大体均等に変化してある。ゾーンIIIではタケバウトヨガリ以後Y方向に対して大体土 ± 0.3 付近の方向に粒子の移動が生じてることを示すのである。すべりがこの領域を生じてると考えられる。それゆえせん断特性を論することはこの領域について行はう必要がある。次に粒子間接触角について考えてみる。供試体より80ヶの粒子を選びその粒子に接触するすべての粒子との間の中心線の角度をY方向に対して時計回りに $/180^\circ$ 、反時計回り -180° 測定した。このようにして行はれ角度の測定数は約550ヶである。図-4は供試体全体に周了了接触角の度数分布を示すものである。粒子經灰集なり、さむれ込み時の角ギ比率が不均

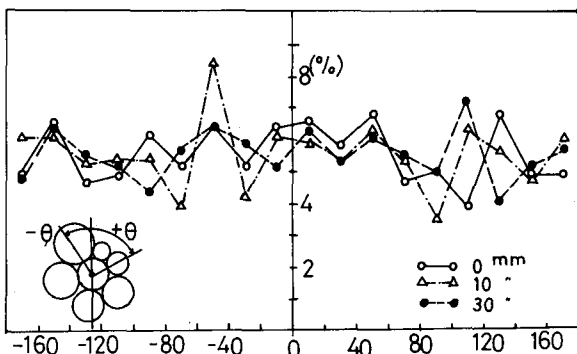


図-4. 粒子間接触角の度数分布(供試体全体)

一のため、せん断前の θ の度数分布は一定性がみられますが、せん断前 $\Delta h = 0\text{mm}$ と基準として $\Delta h = 10\text{mm}$ 、 30mm の場合との相対度数の差をとて見てみます。図-5に示すように円はせん断のままである時を示し、放射状線はせん断直後における粒子中心の回りの方向に対し、時計回りに 20° 間隔で 180° 以内に分けて各区间の中央値である。相対度数の増加分は円外側に向かって減少する傾向は内側に向かって上昇する。破線が $\Delta h = 10\text{mm}$ 実線が $\Delta h = 30\text{mm}$ の場合である。供試体全体とゾーンⅢの比較よりわかるように接触角の度数分布の変化状態はかなり異なることがわかる。粒子移動方向ナリアベクが生じてみると推測されるゾーンⅢと注目すべきこととは、应力のピーク状態より残存状態に対する方向の 0° 方向と 70° および 250° 、 110° および 290° 方向における接觸する粒子が多いうことである。この点と粒子移動方向 $\Delta x/\Delta h$ 、 $\Delta x/\Delta h$ が±0.3付近にピークをもつことと合わせて考えると、粒子移動方向と接觸角との間に何らかの差があるといふべきである。この点につけて今後詳細に検討していくつもりである。

4. あとがき 粒状体の一般的な変形性状を解明するには対象としている供試体をいかかのゾーンに分け、各ゾーンに分けて検討することが必要であり、三軸試験結果の解釈にあたってもこの点を考慮しなくて意味はないはずである場合も生じてくるであろう。ここで用いたアルミ丸棒の積層体につけては、供試体内に1/4ケの円を描き、その円を適当な組み合いでゾーン分けるを行はる。各ゾーンにつけて検討してみると、ゾーンⅢにおいてアベクが生じてみると、粒子移動方向と粒子接觸角の間に粒状体の変形を解明する手がかりはりそうだと思われるようだ。しかし他の組合せあるアベクと顕著な関係が得られる可能性もあり、また他の正確なしかも簡単なゾーン分け方法もあるであろうから、有限要素法による変形性状とも関連させて粒状体の一般的な変形問題につけて検討していくつもりである。なおこの関係につけても併せて今後検討したい。

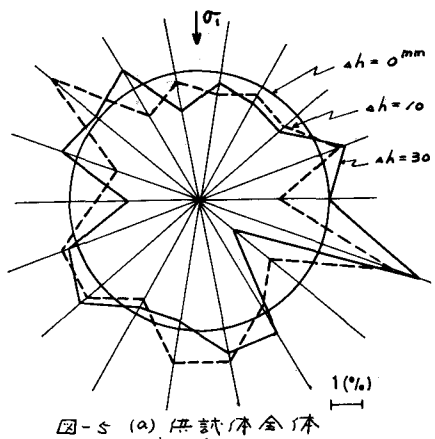


図-5 (a) 供試体全体

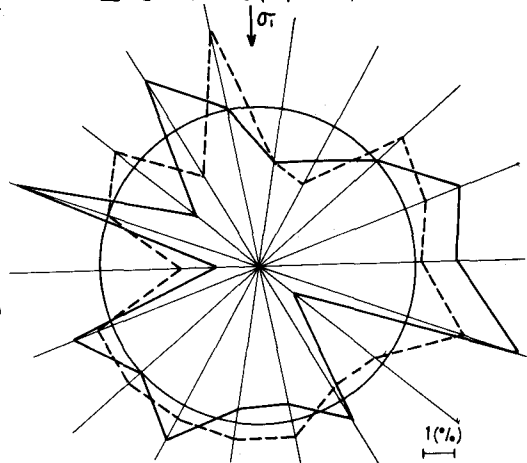


図-5 (b) Zone III

図-5. 粒子間接触角の度数分布の変化。